

Список литературы

- 1 **Зеленая, А. С.** Постановка задачи об изгибе прямоугольной трехслойной пластины со сжимаемым наполнителем / А. С. Зеленая // *Динамическое деформирование и контактное взаимодействие тонкостенных конструкций при воздействии полей различной физической природы: тез. докладов V Междунар. науч. семинара, Москва, 17–19 октября 2016 г. / МАИ (Национальный исследовательский университет).* – М., 2016. – С. 79–80.
- 2 **Зеленая, А. С.** Деформирование упругой трехслойной прямоугольной пластины со сжимаемым наполнителем / А. С. Зеленая // *Известия Гомельского гос. ун-та им. Ф. Скорины. Естественные науки.* – 2017. – № 6 (105). – С. 89–95.
- 3 **Козел, А. Г.** Влияние сдвиговой жёсткости основания на напряжённое состояние сэндвич-пластины / А. Г. Козел // *Фундаментальные и прикладные проблемы техники и технологии.* – 2018. – № 6 (332). – С. 25–35.
- 4 **Козел, А. Г.** Уравнения равновесия упругопластической круговой пластины на основании Пастернака / А. Г. Козел // *Механика. Исследования и инновации : Междунар. сб. науч. тр. – Гомель : БелГУТ, 2018. – Вып. 11. – С. 127–133.*
- 5 **Леоненко, Д. В.** Собственные колебания трехслойной круговой пластины, скрепленной с инерционным основанием / Д. В. Леоненко // *Теоретическая и прикладная механика : Междунар. науч.-техн. сб. – Минск : БНТУ, 2019. – Вып. 34. – С. 143–149.*
- 6 **Леоненко, Д. В.** Импульсные колебания трехслойных стержней на упругом инерционном основании Пастернака / Д. В. Леоненко // *Механика. Исследования и инновации : Междунар. сб. науч. тр. / Белорус. гос. ун-т транспорта. – Гомель, 2019. – Вып. 12. – С. 140–145.*
- 7 **Нестерович, А. В.** Уравнения равновесия трехслойной круговой пластины при неосесимметричном нагружении / А. В. Нестерович // *Теоретическая и прикладная механика.* – 2019. – Вып. 34. – С. 154–159.
- 8 **Нестерович, А. В.** Деформирование трехслойной круговой пластины при косинусоидальном нагружении в своей плоскости / А. В. Нестерович // *Проблемы физики, математики и техники.* – 2020. – № 1 (42). – С. 85–90.
- 9 **Старовойтов, Э. И.** Деформирование упругопластической трехслойной круговой пластины в температурном поле / Э. И. Старовойтов, Д. В. Леоненко // *Механика композитных материалов.* – 2019. – Т. 55. – № 4. – С. 727–740.
- 10 **Старовойтов, Э. И.** Нелинейное деформирование трехслойной пластины со сжимаемым наполнителем / Э. И. Старовойтов, Ю. В. Захарчук // *Механика машин, механизмов и материалов.* – 2019. – № 3 (48). – С. 26–33.
- 11 **Старовойтов, Э. И.** Изгиб круговой трехслойной пластины с легким сжимаемым наполнителем / Э. И. Старовойтов, Ю. В. Захарчук // *Проблемы машиностроения и автоматизации.* – 2018. – № 4. – С. 88–97.

УДК 539.3, 539.8

МОДЕЛИРОВАНИЕ НЕСТАЦИОНАРНЫХ УПРУГОДИФFUЗИОННЫХ КОЛЕБАНИЙ ПРЯМОУГОЛЬНОЙ ОРТОТРОПНОЙ ПЛАСТИНЫ КИРХГОФА – ЛЯВА

А. В. ЗЕМСКОВ^{1,2}, Д. В. ТАРЛАКОВСКИЙ^{2,1}

¹*Московский авиационный институт (НИИ),*

²*НИИ механики МГУ им. М. В. Ломоносова, г. Москва, Российская Федерация*

Рассматривается задача о нестационарных упругодиффузионных колебаниях прямоугольной ортотропной пластины Кирхгофа – Лява, находящейся в поле совместного действия механического и диффузионного полей (рисунок 1).

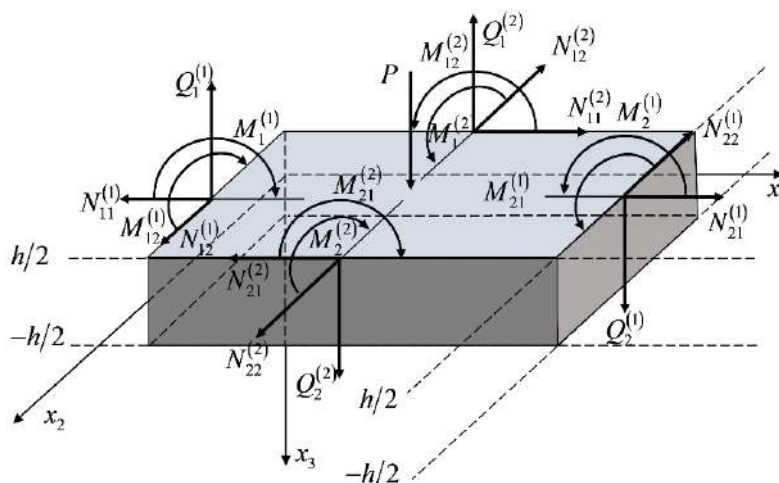


Рисунок 1 – Рисунок к постановке задачи

Для математической постановки задачи используется система уравнений механо-диффузии для анизотропных сплошных сред [1–6]. Из неё, с помощью вариационного принципа Даламбера, получена модель упругодиффузионных поперечных колебаний ортотропной прямоугольной пластины [7, 8]:

$$\begin{aligned} & \frac{\partial^2 \dot{w}}{\partial x_1^2} + \frac{\partial^2 \dot{w}}{\partial x_2^2} - \frac{12}{h^2} \dot{w} = \frac{\partial^4 w}{\partial x_1^4} + 2(C_{12} + 2C_{66}) \frac{\partial^4 w}{\partial x_1^2 \partial x_2^2} + C_{22} \frac{\partial^4 w}{\partial x_2^4} + \\ & + \sum_{q=1}^N \left(\alpha_1^{(q)} \frac{\partial^2 H_q}{\partial x_1^2} + \alpha_2^{(q)} \frac{\partial^2 H_q}{\partial x_2^2} \right) - \frac{12}{h^3} \left(\frac{\partial m_2}{\partial x_2} + \frac{\partial m_1}{\partial x_1} + q \right), \quad (1) \\ & \dot{H}_q + \tau_q \ddot{H}_q = D_1^{(q)} \frac{\partial^2 H_q}{\partial x_1^2} + D_2^{(q)} \frac{\partial^2 H_q}{\partial x_2^2} + \Lambda_{11}^{(q)} \frac{\partial^4 w}{\partial x_1^4} + (\Lambda_{12}^{(q)} + \Lambda_{21}^{(q)}) \frac{\partial^4 w}{\partial x_1^2 \partial x_2^2} + \Lambda_{22}^{(q)} \frac{\partial^4 w}{\partial x_2^4} + \frac{12}{h^3} z_q. \end{aligned}$$

Здесь точки обозначают производную по времени. Все величины в выражении (1) являются безразмерными. Для них приняты следующие обозначения

$$\begin{aligned} x_i &= \frac{x_i^*}{l}, \quad w = \frac{w^*}{l}, \quad \tau = \frac{Ct}{l}, \quad C_{ij} = \frac{C_{ij}^*}{C_{11}^*}, \quad C^2 = \frac{C_{11}^*}{\rho}, \quad l_m = \frac{l_m^*}{l}, \quad \tau_q = \frac{C\tau^{(q)}}{l}, \quad m_i = \frac{m_i^*}{C_{11}^*}, \\ \alpha_i^{(q)} &= \frac{\alpha_i^{*(q)}}{C_{11}^*}, \quad D_i^{(q)} = \frac{D_i^{*(q)}}{Cl}, \quad \Lambda_{ij}^{(q)} = \frac{m^{(q)} D_i^{*(q)} \alpha_j^{*(q)} n_0^{(q)}}{\rho R T_0 C l}, \quad q = \frac{q^*}{C_{11}^*}, \quad z_q = \frac{L z^{(q)}}{C}, \quad h = \frac{h^*}{l}, \end{aligned}$$

где t – время; x_i^* – прямоугольные декартовы координаты; w^* – прогибы пластины; l – характерный линейный размер в задаче (в данном случае – диагональ пластины, которая имеет размеры $l_1^* \times l_2^*$ и толщину h^*); $\eta^{(q)} = x_3 H_q$ – приращение концентрации q -й компоненты вещества в составе N -компонентной среды; $n_0^{(q)}$ – начальная концентрация q -го вещества; C_{ij}^* – упругие постоянные; ρ – плотность; $\alpha_i^{*(q)}$ – коэффициенты, характеризующие объёмное изменение среды за счёт диффузии; $D_i^{*(q)}$ – коэффициенты самодиффузии; R – универсальная газовая постоянная; T_0 – температура среды; $m^{(q)}$ – молярная масса q -го вещества; $\tau^{(q)}$ – время релаксации диффузионных потоков; m_i^* – распределенные по поверхности моменты; q^* – распределенная по поверхности поперечная нагрузка; $z^{(q)}$ – распределённая по поверхности плотность объёмных источников массопереноса.

Замыкают постановку начально-краевые условия, которые в случае чистого изгиба под действием изгибающих моментов $M_k^{(l)}$, изображенных на рисунке 1, имеют вид

$$\begin{aligned} & \left(\frac{\partial^2 w}{\partial x_1^2} + C_{12} \frac{\partial^2 w}{\partial x_2^2} + \sum_{q=1}^N \alpha_1^{(q)} H_q \right) \Big|_{x_1=0} = f_{111}, \quad \left(\frac{\partial^2 w}{\partial x_1^2} + C_{12} \frac{\partial^2 w}{\partial x_2^2} + \sum_{q=1}^N \alpha_1^{(q)} H_q \right) \Big|_{x_1=l_1} = f_{112}, \\ & \left(C_{12} \frac{\partial^2 w}{\partial x_1^2} + C_{22} \frac{\partial^2 w}{\partial x_2^2} + \sum_{q=1}^N \alpha_2^{(q)} H_q \right) \Big|_{x_2=0} = f_{121}, \quad \left(C_{12} \frac{\partial^2 w}{\partial x_1^2} + C_{22} \frac{\partial^2 w}{\partial x_2^2} + \sum_{q=1}^N \alpha_2^{(q)} H_q \right) \Big|_{x_2=l_2} = f_{122}, \\ & w \Big|_{x_1=0} = f_{211}(x_2, \tau), \quad w \Big|_{x_1=l_1} = f_{212}(x_2, \tau), \quad w \Big|_{x_2=0} = f_{221}(x_1, \tau), \quad w \Big|_{x_2=l_2} = f_{222}(x_1, \tau), \quad (2) \\ & H_q \Big|_{x_1=0} = f_{q+2,11}(x_2, \tau), \quad H_q \Big|_{x_1=l_1} = f_{q+2,12}(x_2, \tau), \quad H_q \Big|_{x_2=0} = f_{q+2,21}(x_1, \tau), \quad H_q \Big|_{x_2=l_2} = f_{q+2,22}(x_1, \tau), \\ & f_{111}(x_2, \tau) = -\frac{12}{h^3} M_1^{(1)}(x_2, \tau), \quad f_{112}(x_2, \tau) = -\frac{12}{h^3} M_2^{(1)}(x_2, \tau), \\ & f_{121}(x_1, \tau) = -\frac{12}{h^3} M_1^{(2)}(x_1, \tau), \quad f_{122}(x_1, \tau) = -\frac{12}{h^3} M_2^{(2)}(x_1, \tau). \end{aligned}$$

Начальные условия полагаем нулевыми.

Решения задачи (1), (2) ищется в интегральной форме. Ядрами интегральных представлений являются функции Грина, для нахождения которых используются разложения двойные тригонометрические ряды Фурье и преобразование Лапласа по времени.

Работа выполнена при финансовой поддержке РФФИ (проект №20-08-00589 А).

Список литературы

- 1 Еремеев, В. С. Диффузия и напряжения / В. С. Еремеев. – М. : Энергоатомиздат, 1984. – 182 с.
- 2 Igumnov, L. A. A two-dimensional nonstationary problem of elastic diffusion for an orthotropic one-component layer / L. A. Igumnov, D. V. Tarlakovskii, A. V. Zemskov // Lobachevskii Journal of Mathematics. – 2017. – Vol. 38, no. 5. – P. 808–817.
- 3 Князева, А. Г. Введение в термодинамику необратимых процессов / А. Г. Князева. – Томск : Иван Федоров, 2014. – 172 с.
- 4 Aouadi, M. Analytical and numerical results for a dynamic contact problem with two stops in thermoelastic diffusion theory / M. Aouadi, M. I. M. Copetti // ZAMM Z. Angew. Math. Mech. – 2016. – Vol. 96, no. 3. – P. 361–384.
- 5 Deswal, S. A two-dimensional generalized electro-magneto-thermoviscoelastic problem for a half-space with diffusion / S. Deswal, K. Kalkal // International Journal of Thermal Sciences. – 2011. – Vol. 50, no. 5. – P. 749–759.
- 6 Elhagary, M. A. A two-dimensional generalized thermoelastic diffusion problem for a half-space subjected to harmonically varying heating / M. A. Elhagary // Acta Mech. – 2013. – Vol. 224. – P. 3057–3069.
- 7 Afanasieva, O. A. Unsteady Elastic-Diffusion Oscillations of a Simply Supported Kirchhoff Plate Under the Distributed Transverse Load Action / O. A. Afanasieva, A. V. Zemskov // In: Gdoutos E. [et al.] : Proceedings of the Third International Conference on Theoretical, Applied and Experimental Mechanics. ICTAEM 2020. Structural Integrity. – Vol. 16. –Springer, Cham, 2020. – P. 181–186.
- 8 Земсков, А. В. Изотропная многокомпонентная пластина Кирхгофа под действием нестационарных упругодиффузионных возмущений / А. В. Земсков, Д. В. Тарлаковский // Динамические и технологические проблемы механики конструкций и сплошных сред : материалы XXVI Междунар. симпозиума им. А. Г. Горшкова. Т. 2. – М. : ООО «ТРИ», 2020. – С. 155–161.

УДК 519.876.5 + 62-551.454

МАШИННОЕ ОБУЧЕНИЕ КАК МОЩНЫЙ ИНСТРУМЕНТ СИНТЕЗА СУБОПТИМАЛЬНЫХ РЕГУЛЯТОРОВ СИСТЕМ УПРАВЛЕНИЯ

А. Г. КАПУСТИН, К. В. ТЕРЕЩЕНКО

Белорусская государственная академия авиации, г. Минск

В настоящее время, по известным причинам, применяющиеся аналоговые регуляторы практически исчерпали свои возможности корректного регулирования выходных параметров автоматических систем управления [1, 2]. В работе рассмотрены вопросы проектирования регуляторов нового поколения – нечетких регуляторов систем автоматического управления в пакете *Fuzzy Logic Toolbox* вычислительной среды *Matlab*. Регуляторы *Fuzzy Logic* или нечеткие регуляторы синтезируются с помощью теории нечеткой логики, являющейся разделом машинного обучения. В общем случае машинное обучение используется для поиска математической формулы, которая при применении к набору входных данных дает желаемые результаты изменения выходных параметров системы. Виртуальная среда программирования *Matlab* позволяет создать программу синтеза аналогового регулятора нового поколения на основе нечеткой логики «*fuzzy*» (один из инструментов машинного обучения) [1–3]. В работе выполнен синтез нечеткого ПИД-регулятора напряжения для синхронного генератора мощностью 30 кВ·А.

Особенности процесса синтеза ПИД-регулятора напряжения с логикой «*fuzzy*» для *Matlab*-модели синхронного генератора следующие. В блоке *Fuzzy Logic Controller* модели генератора задается ссылка на *fis*-файл с прописанными правилами управления при помощи «*fuzzy*» логики. Данный файл создается в виде скрипта в окне программы *Matlab* и там же задается тип *mamdani*-файла.

В настройках системы указывается: количество входов и выходов регулятора; задается количество правил; описываются методы регулирования (таблица 1).